

# III-18 乾燥砂の多軸圧縮試験 (第2報)

日本大学理工学部 正・官 森 建樹  
(院) 下辺 悟

## 1. まえがき

著者らは3主応力がそれそれ異なる応力状態における乾燥砂の応力一変形特性についてを実験的に調べてゐる。いさまでに、平均主応力一定の条件では偏心応力がある程度の大きさに達するまでは応力とひずみの方向は比較的よく一致するが、偏心応力が大きくなるにしたがつてひずみが応力の方向とは異なり特定の向きに変化することを確かめた。このように応力とひずみの方向がズレることのはせん断に伴はう砂粒子の再配列やダイラタンシー特性に密接な関係をもつものと考えられる。今回は前回の報告に引き続いて、平均主応力一定の多軸応力条件下における乾燥砂の応力一変形特性に関するこれまでの検討をも含めて検討するとともに、同じく平均主応力一定の多軸応力条件下での繰返せん断試験の結果について報告する。

## 2. 応力一変形特性

主応力空間のπ平面上において偏心応力をπ平面と静水圧軸と交わる点から直線的に増加せらるようせん断試験より求められる砂の応力一変形の一般的な関係を縦軸に  $\sigma_{out}/\sigma_{act}$  をヒリ 横軸に  $\sigma_{act}$  をヒリ 示すとFig-1 のようである。 $(\bar{\epsilon}_1 = \sigma_{out} = (\sigma_1 + \sigma_2 + \sigma_3)/3, \bar{\sigma}_{act} = \{(\sigma_1 - \sigma_2)^2 + (\sigma_2 - \sigma_3)^2 + (\sigma_3 - \sigma_1)^2\}^{1/2}/3, \bar{\sigma}_{act} = [\{(\epsilon_1 - \epsilon_2)^2 + (\epsilon_2 - \epsilon_3)^2 + (\epsilon_3 - \epsilon_1)^2\}/3]^{1/2})$  。圧縮状態から伸張状態にいたる各応力経路に対応する  $\sigma_{out}/\sigma_{act} - \sigma_{act}$  曲線の最大値、すなわち破壊時の  $(\sigma_{out}/\sigma_{act})_f$  は土の破壊規準によつて異なる。たとえば土の破壊が Mohr-Coulomb の破壊規準に従うものとすれば、圧縮試験 ( $\sigma_1 > \sigma_2 = \sigma_3$ ) の  $(\sigma_{out}/\sigma_{act})_f$  と伸張試験 ( $\sigma_1 = \sigma_2 > \sigma_3$ ) のそれとの比は粘着力が0の場合、内部摩擦角  $\phi$  を用ひて  $\{2 + \tan^2(45^\circ + \phi/2)\}/\{2 \tan^2(45^\circ + \phi/2) + 1\}$  で表される。

応力経路と変形の関係を調べるためにπ平面上に等ひずみ時の  $\sigma_{out}/\sigma_{act}$  を示したのがFig-2である。これはひずみが小さなところは圧縮状態、伸張状態における  $\sigma_{out}/\sigma_{act}$  の大きさはほとんど変わらず、等ひずみ線は円に近い形状を示す。ひずみが大きくなるに従つて圧縮状態の  $\sigma_{out}/\sigma_{act}$  は伸張状態のそれより大きくなり、その傾向はひずみとともにより顕著になる。しかししながら形状は外に凸であり Mohr-Coulomb の破壊規準のように直線にはならぬ。  $\sigma_{act} = 0.8, 1.0, 1.2 \text{ kg/cm}^2$  の結果を縦軸に  $\sigma_{out}/\sigma_{act}$ 、横軸に応力経路を示す角度  $\theta$  ( $\theta = 0^\circ$ : 圧縮,  $60^\circ$ : 伸張) をヒリ、等ひずみ時の  $\sigma_{out}/\sigma_{act}$  を示したのがFig-3である。

これより  $\sigma_{out} = 0.8 \sim 1.2 \text{ kg/cm}^2$  の範囲

では平均主応力に関係なく岩のひずみ時の  $\sigma_{out}/\sigma_{act}$  は等しく、ひずみは  $\sigma_{out}/\sigma_{act}$ ,

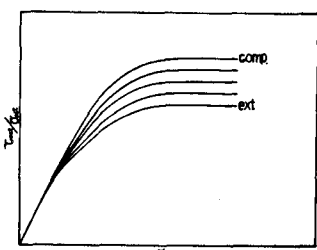


Fig-1 応力とひずみの関係

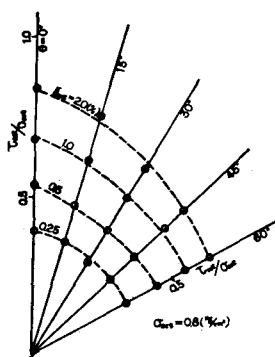


Fig-2. 等ひずみ曲線

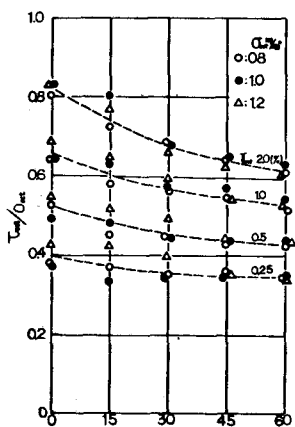


Fig-3. 応力経路と等ひずみ時の応力比

すなはち  $\theta$  角度応力の傾き角によって決するといえよう。

### 3. 体積変化-変形特性

$\sigma_{out} = 0.8 \text{ kg/cm}^2$  で行はった試験の体積変化率と  $\sigma_{out}$  の関係を Fig-4 に示した。この場合、平均主応力は試験を通じて一定に保たれていたので体積変化は圧縮によるものを含まず全せん断による。 $\Delta V/V - \sigma_{out}$  の関係は圧縮状態から伸張状態に近づくにつれて  $\sigma_{out}$  の小さいところではダイラタンシーが発生する傾向を示している。Fig-5 にはπ平面上にひずみ増分の方向と体積が最も収縮したときの  $\sigma_{out}/\sigma_{out}$  を示した。この応力比も等ひずみ線 (Fig-2) と同様に外に凸の形状となる。

またひずみ増分方向のズレは体積が最も収縮したときの  $\sigma_{out}/\sigma_{out}$  以前の応力状態のときから生じており、ダイラタンシーの発生する前から応力比ひずみ増分方向の不一致が起きていることがわかる。これより砂のような土ではせん断の初期から応力比ひずみ増分の方向の不一致が生じているといえよう。

### 4. 繰返せん断試験

$\sigma_{out} = 0.8 \text{ kg/cm}^2$  に保ったまま  $\sigma_1/\sigma_3 = 3, 5$  (第1回目 = 3, 第2回目 = 5) とし繰返せん断試験を行はった。結果の一例として  $\theta = 15^\circ$  の場合を示すと Fig-6 のようである。これより再載荷過程ではあらかじめ加えた  $\sigma_1/\sigma_3$  を越えないときは弾塑性的な変形を示すが、それ以上になると著しく降伏することがあらかじめる。また  $\Delta V_1, \Delta V_3$  についてみてみると、再載荷過程では除荷過程の体積変化と異なり全体に左方に移っているが、これは再載荷過程では膨張が生じていることを示している。再載荷時の  $\Delta V_1$  が除荷時のそれより膨張側にほどける傾向は圧縮および伸張状態以外の応力経路において見られる。Fig-7 に繰返せん断試験の応力経路とひずみ経路を示した。これより応力経路とひずみ経路は除荷および再載荷過程をも含めて一致しないこと、また降伏が生じるとひずみ経路は直線的になり、その方向は Fig-5 に示したひずみ増分の方向に一致し、繰返しによる影響がなくほることはわかる。

### 5. まとめ

以上の結果をまとめると次のようである。(i) 等ひずみ時の応力をπ平面上で示すと外に凸の曲線となる。(ii) 伸張状態におけるダイラタンシーは圧縮状態に比べて小さなひずみで発生する。(iii) 応力とひずみの方向のズレはせん断の初期から生じる。(iv) 繰返せん断においては降伏時にはひずみの方向は繰返しによる影響を受けない。

参考文献 宮森・日野 “乾燥砂の多軸圧縮試験” 第9回土質工学研究発表会。

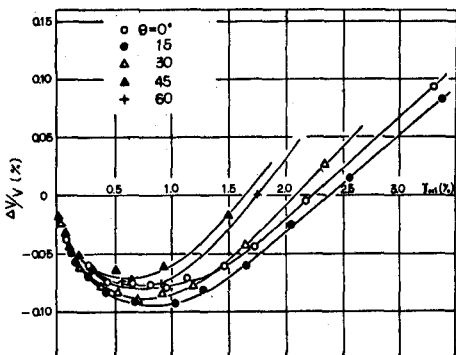


Fig-4: ひずみと体積変化の関係

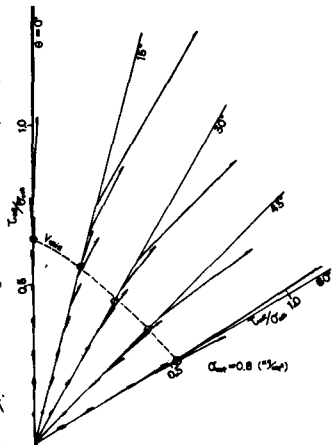


Fig-5: ひずみ増分と  $\sigma_{out}/\sigma_{out}$  の応力比

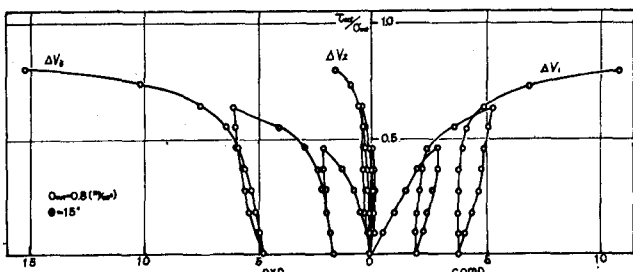


Fig-6: 繰返せん断試験結果

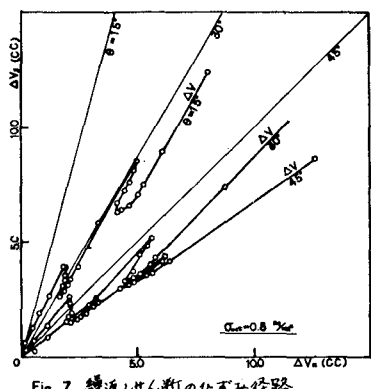


Fig-7: 繰返せん断のひずみ経路